

CONSTITUINTES QUÍMICOS E AVALIAÇÃO DA ATIVIDADE ANTIBACTERIANA DE *Macroptilium lathyroides* (L.) Urb. (Fabaceae)

Leônio M. de Sousa, Roberto W. da S. Gois, Telma L. G. Lemos, Ângela M. C. Arriaga e Manoel Andrade-Neto

Departamento de Química Orgânica e Inorgânica, Universidade Federal do Ceará, 60451-970 Fortaleza – CE, Brasil

Gilvandete M. P. Santiago*

Departamento de Farmácia, Universidade Federal do Ceará, Rua Capitão Francisco Pedro, 1210, 60430-370 Fortaleza – CE, Brasil

Raimundo Braz-Filho#

Centro de Ciências e Tecnologias, Universidade Estadual do Norte Fluminense, 28013-602 Campos dos Goytacazes – RJ, Brasil

José G. M. da Costa e Fabiola F. G. Rodrigues

Departamento de Química Biológica, Universidade Regional do Cariri, 63105-000 Crato – CE, Brasil

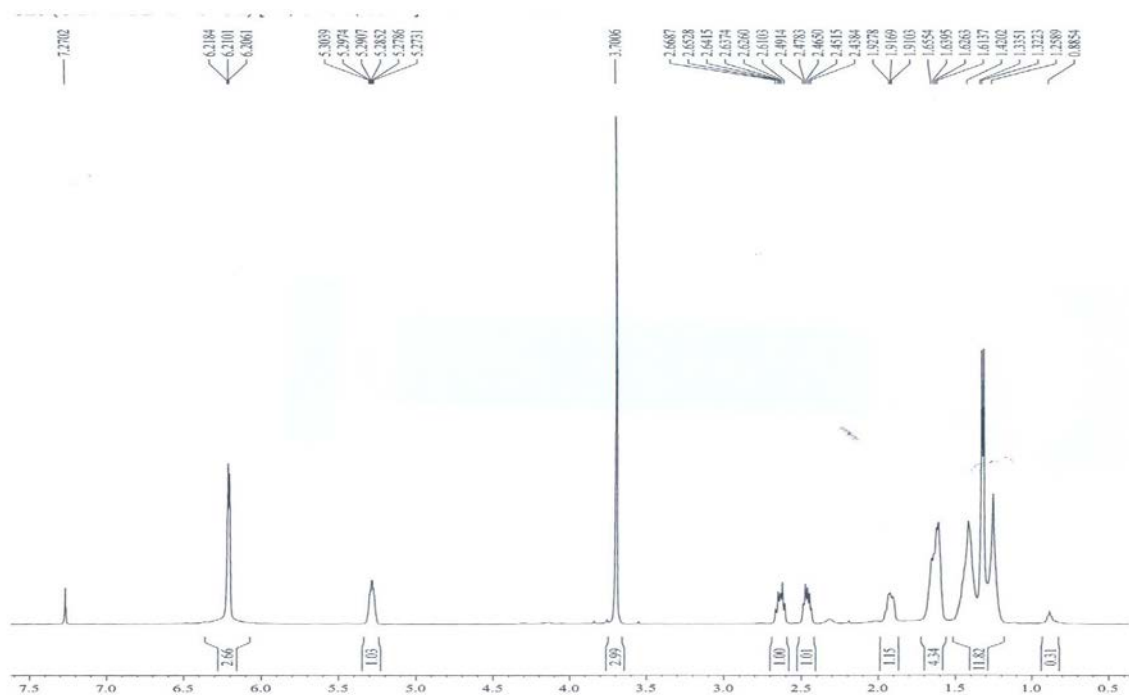


Figura 1S. Espectro de RMN ¹H (500 MHz, CDCl₃) de 3

*e-mail: gil@ufc.br

#Departamento de Química, Universidade Federal Rural do Rio de Janeiro

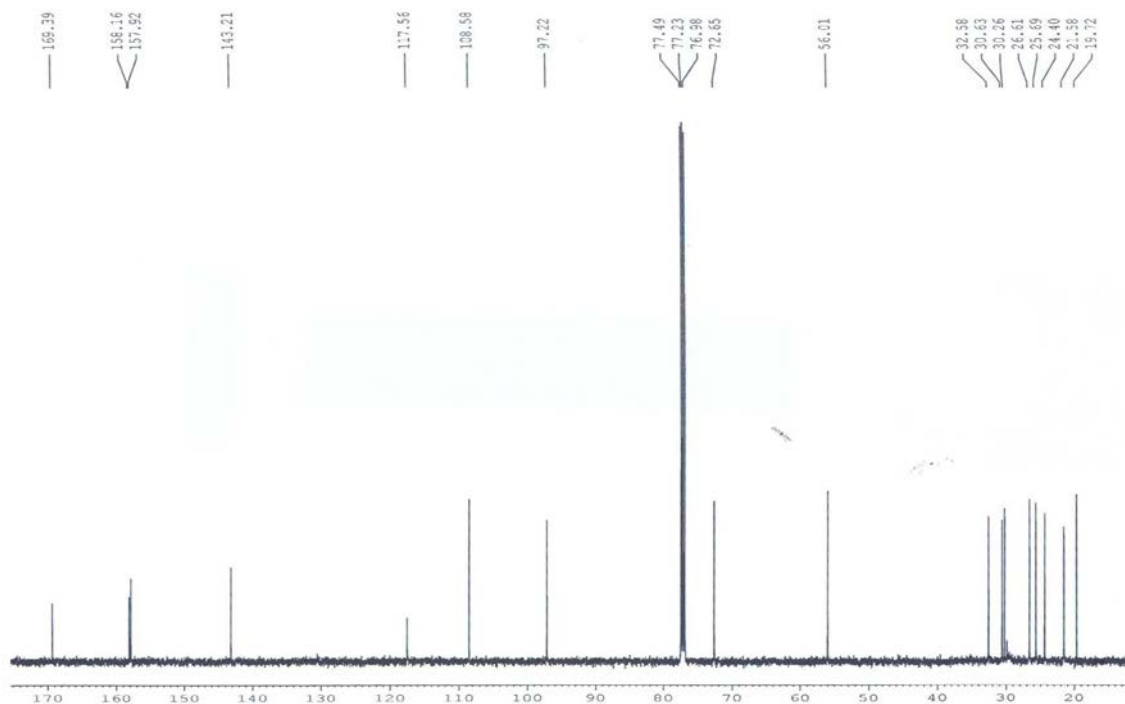


Figura 2S. Espectro de RMN ^{13}C – BB (125 MHz, CDCl_3) de 3

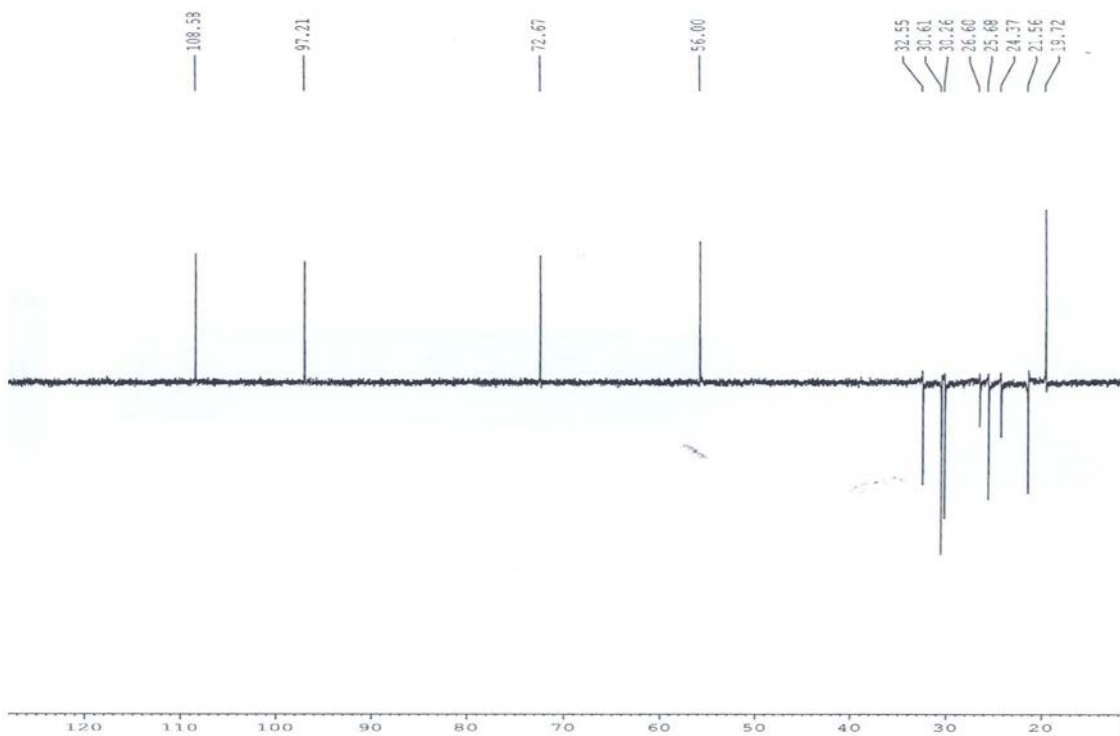


Figura 3S. Espectro de RMN ^{13}C – DEPT 135° (CDCl_3) de 3

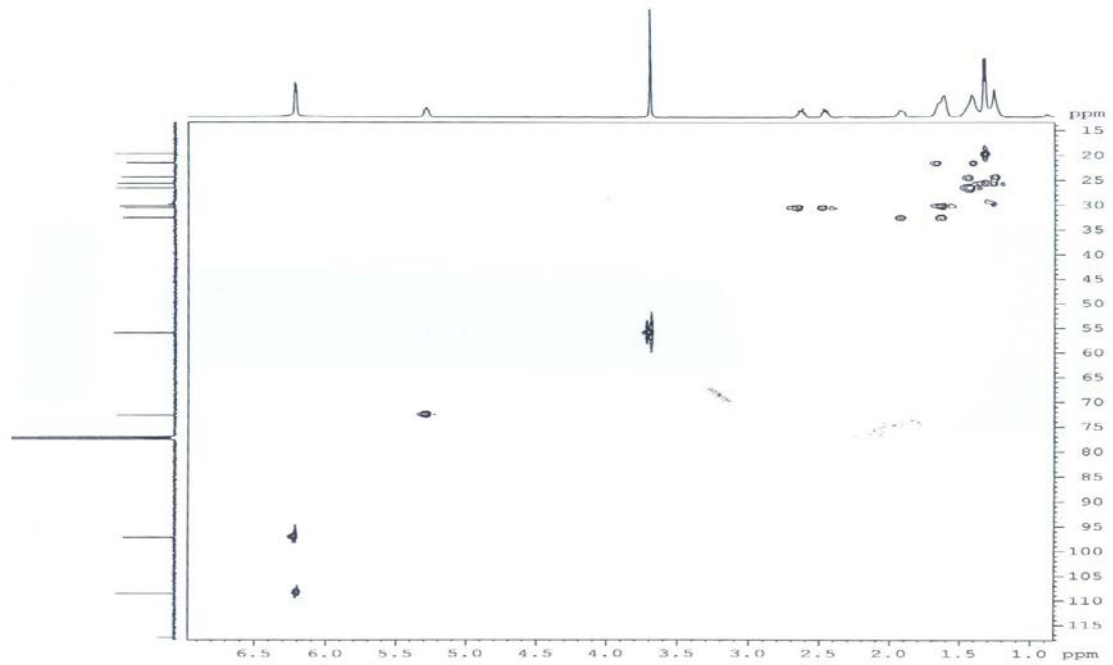


Figura 4S. Mapa de contornos HSQC (CDCl₃) de 3

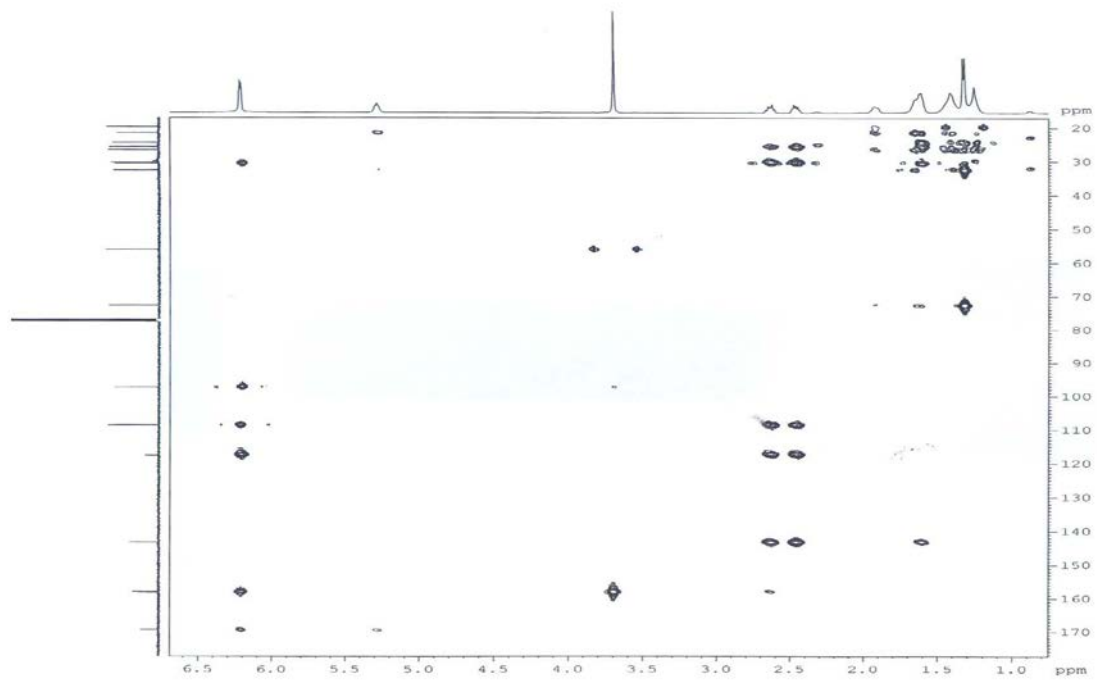


Figura 5S. Mapa de contornos HMBC (CDCl₃) de 3

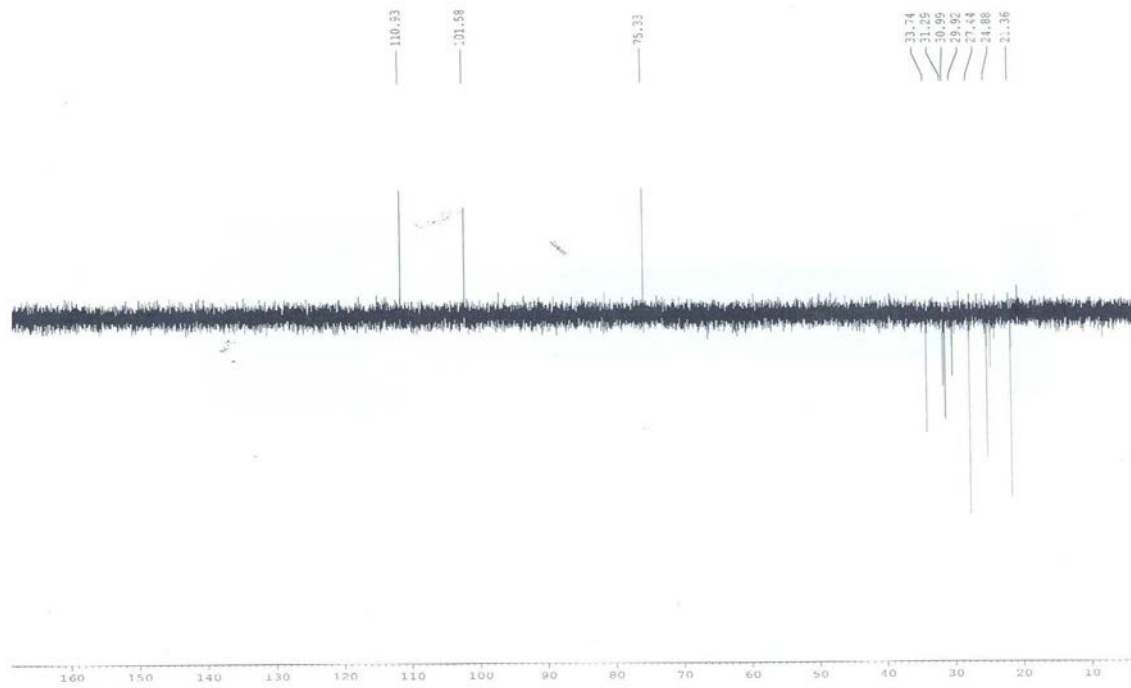


Figura 8S. Espectro de RMN ^{13}C DEPT 135° (125 MHz, CDCl_3) de 6

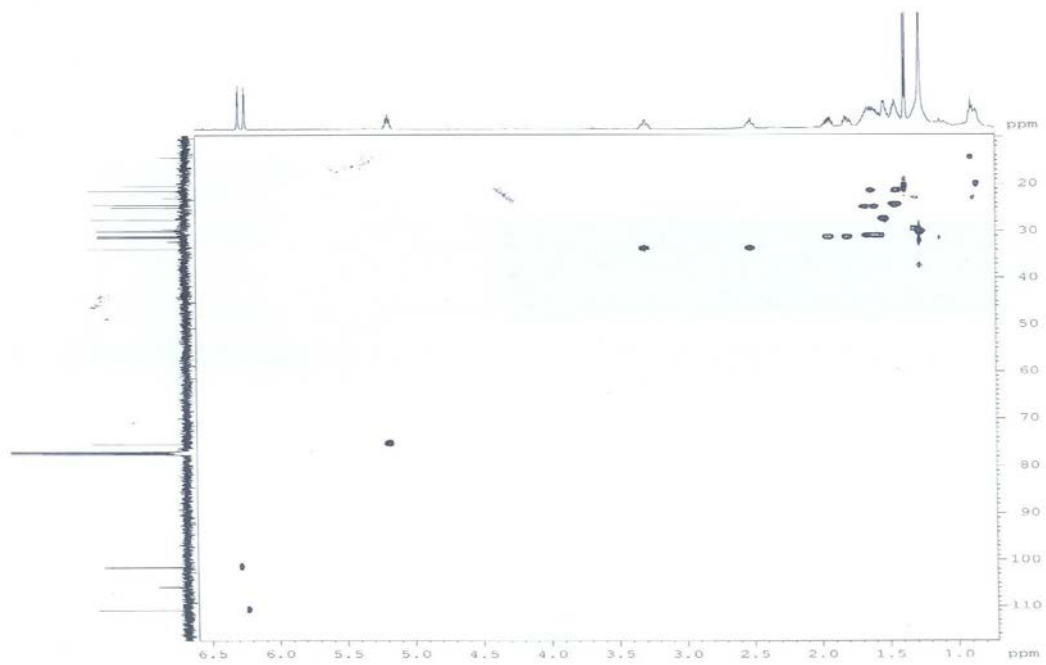


Figura 9S. Mapa de contornos HSQC (CDCl_3) de 6

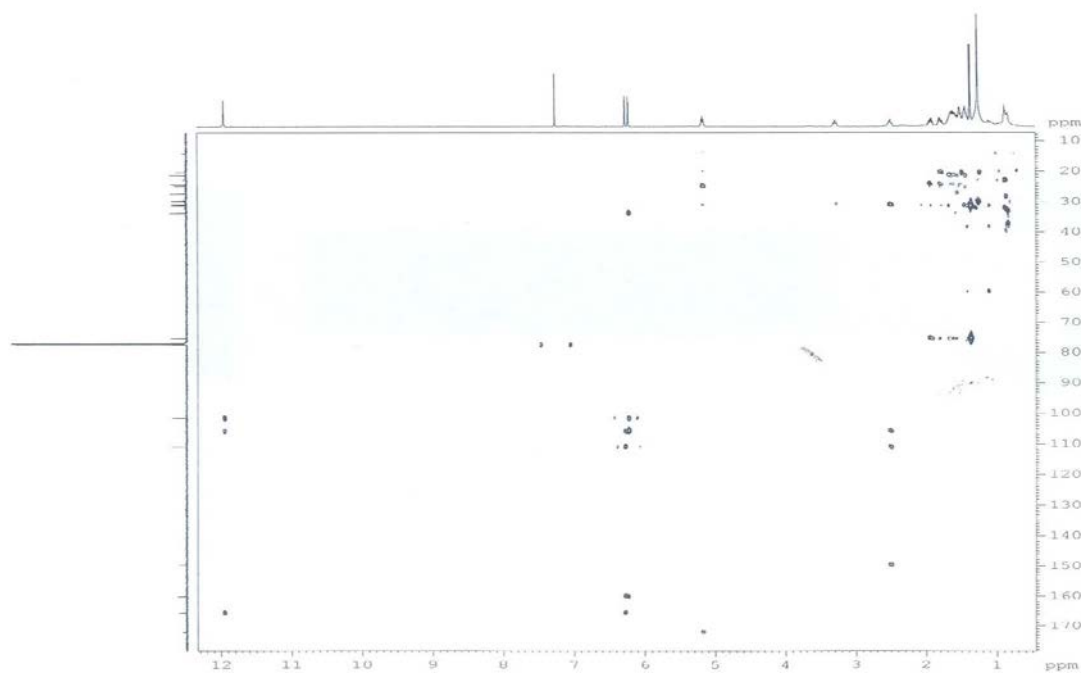


Figura 10S. Mapa de contornos HMBC (CDCl_3) de 6

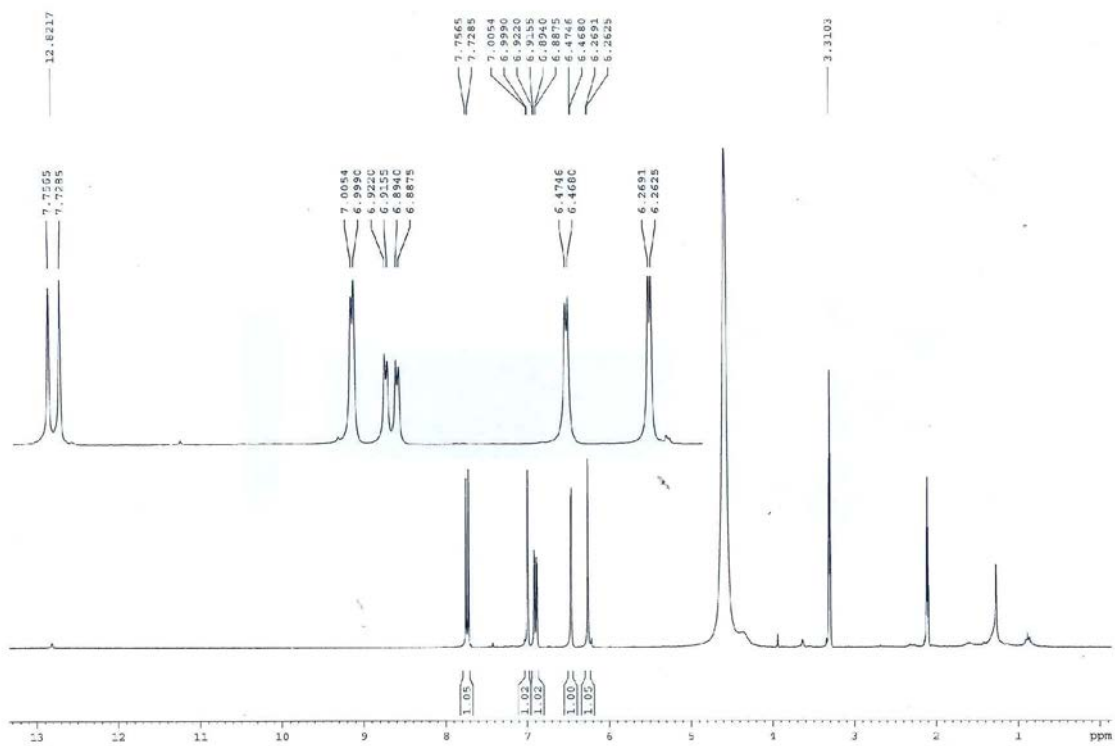


Figura 11S. Espectro de RMN ^1H (500 MHz, CD_3OD , $(\text{CD}_3)_2\text{CO}$) de 7

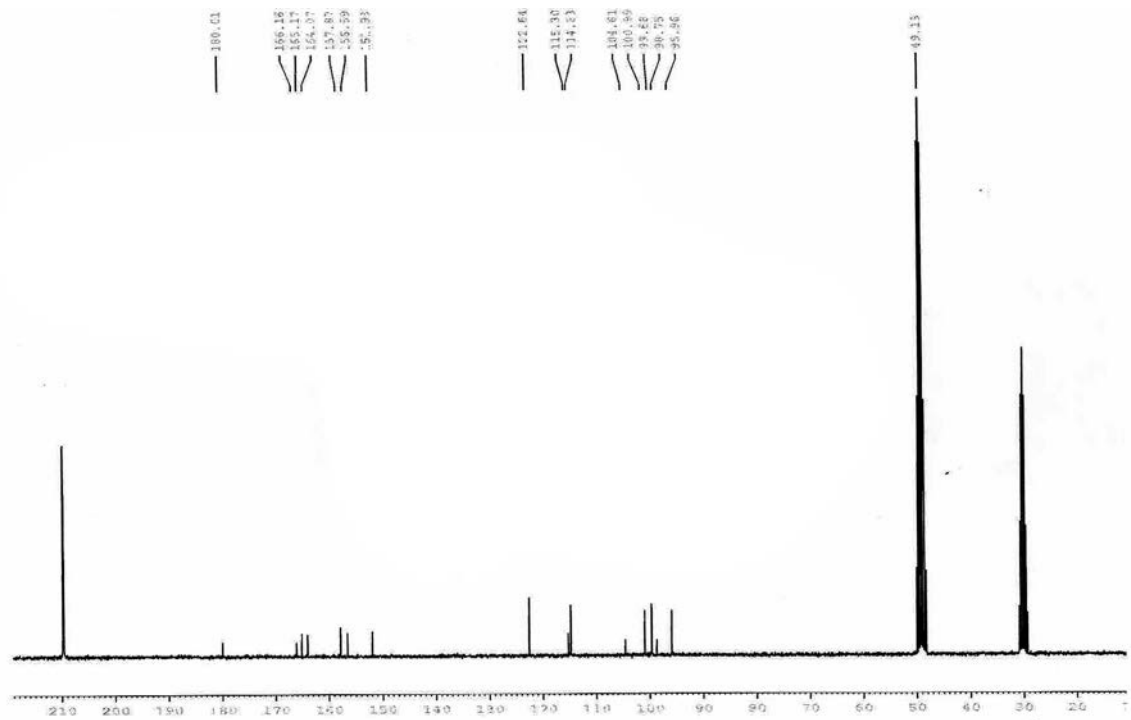


Figura 12S. Espectro de RMN ^{13}C (125 MHz, CD_3OD , $(\text{CD}_3)_2\text{CO}$) de 7

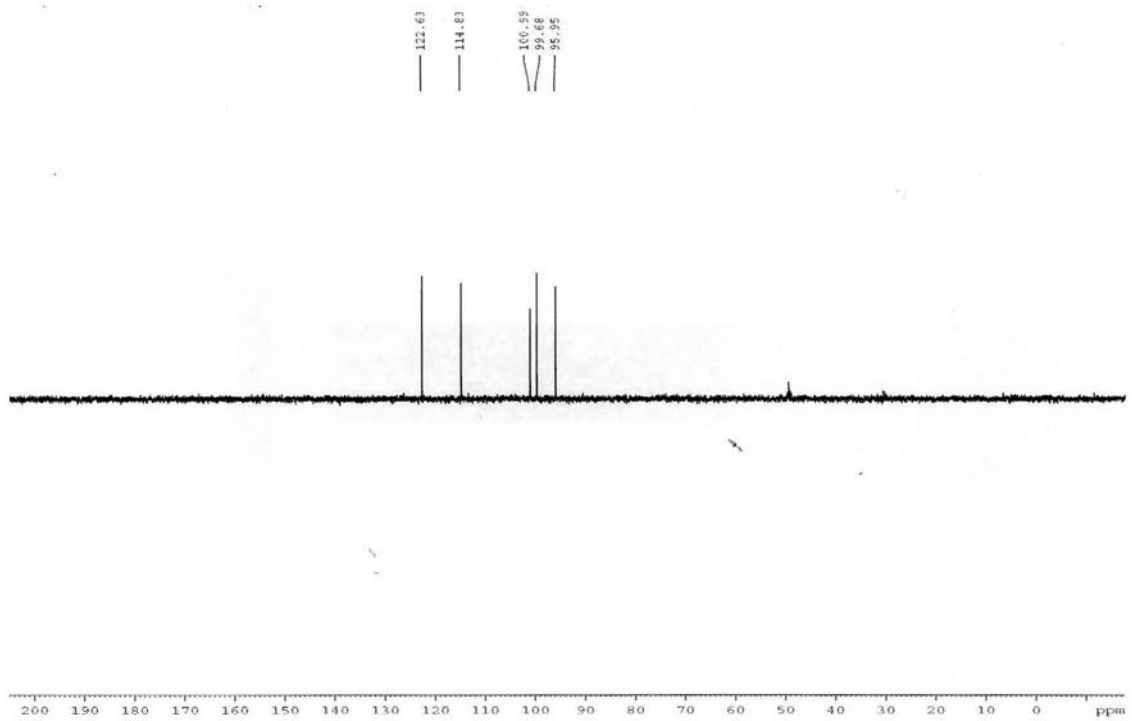


Figura 13S. Espectro de RMN ^{13}C DEPT 135° (125 MHz, CD_3OD , $(\text{CD}_3)_2\text{CO}$) de 7

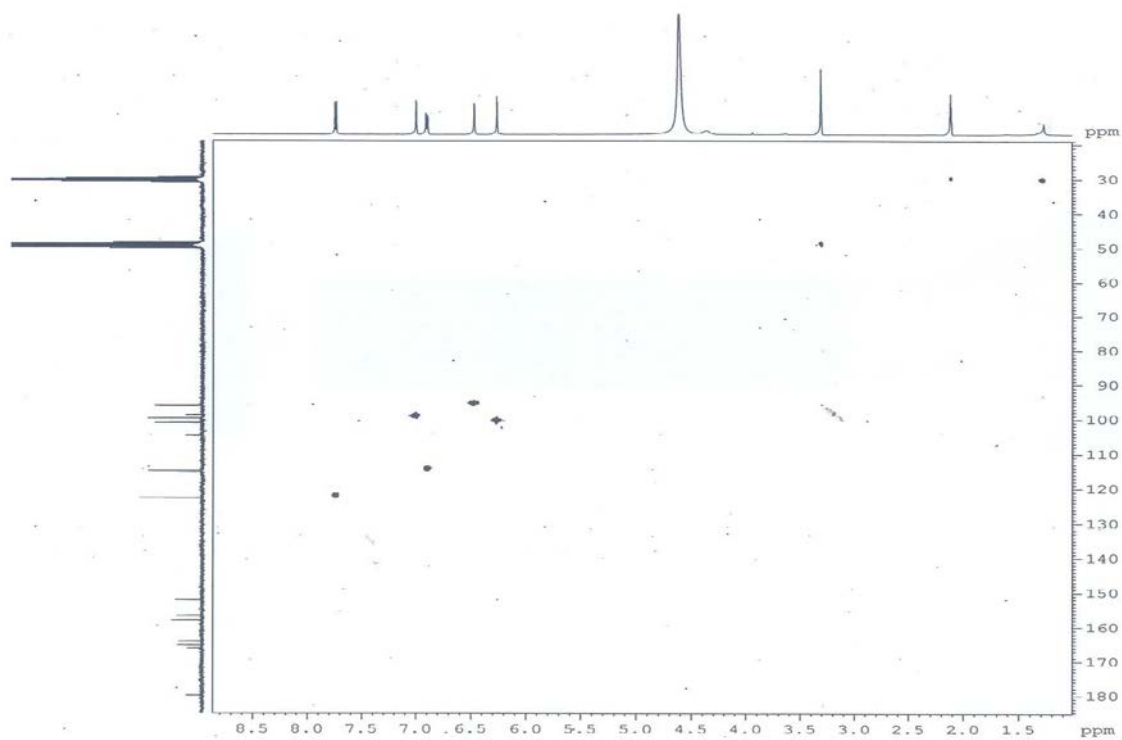


Figura 14S. Mapa de contornos HSQC (CD_3OD , $(CD_3)_2CO$) de 7

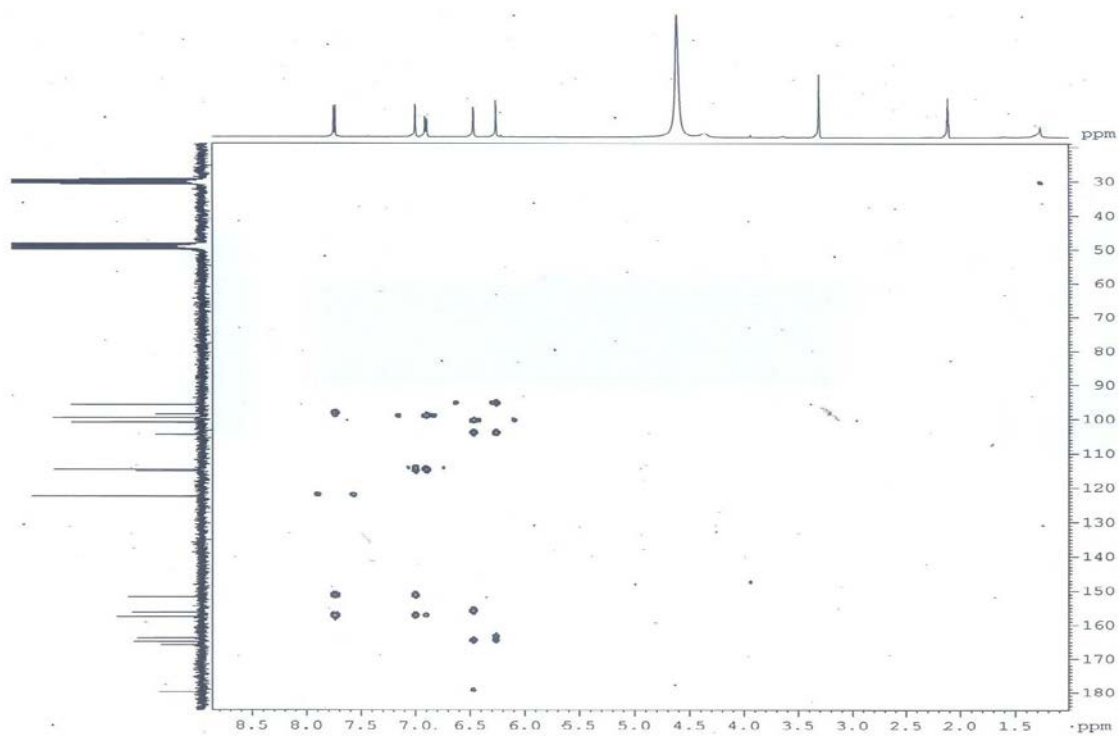


Figura 15S. Mapa de contornos HMBC (CD_3OD , $(CD_3)_2CO$) de 7

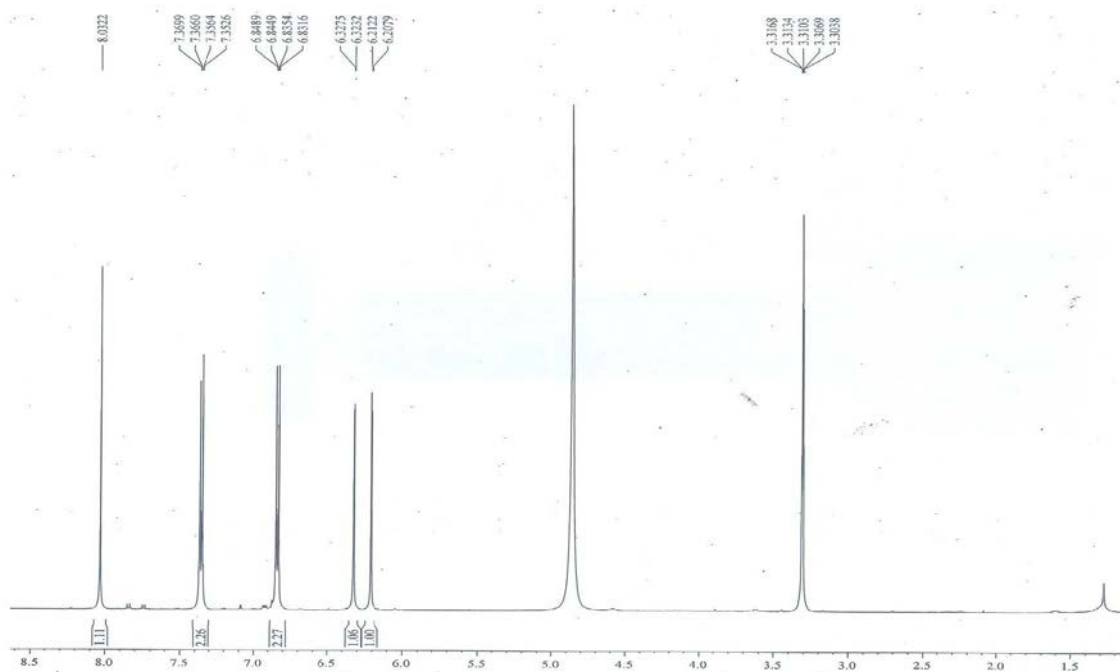


Figura 16S. Espectro de RMN ^1H (500 MHz, CD_3OD) de 8

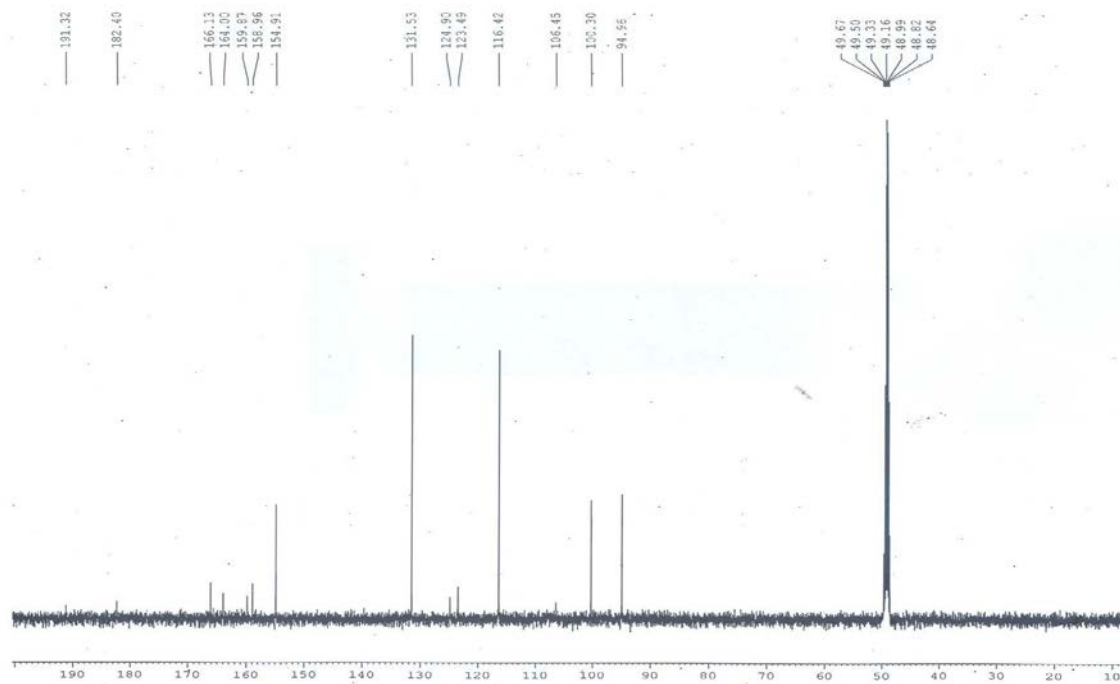


Figura 17S. Espectro de RMN ^{13}C (125 MHz, CD_3OD) de 8

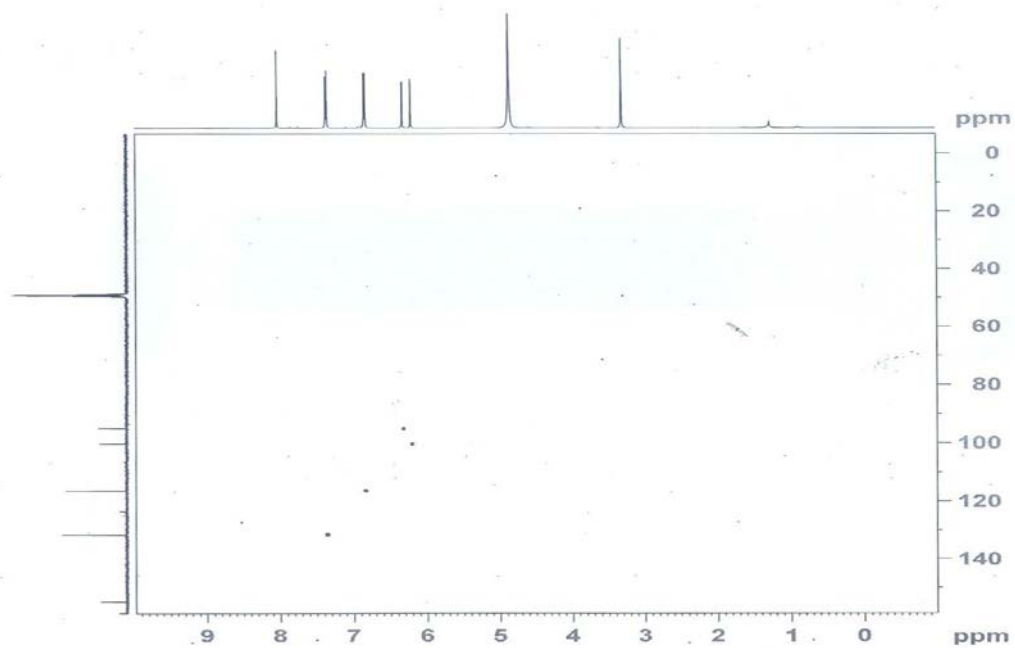


Figura 18S. Mapa de contornos HSQC (CD_3OD) de **8**

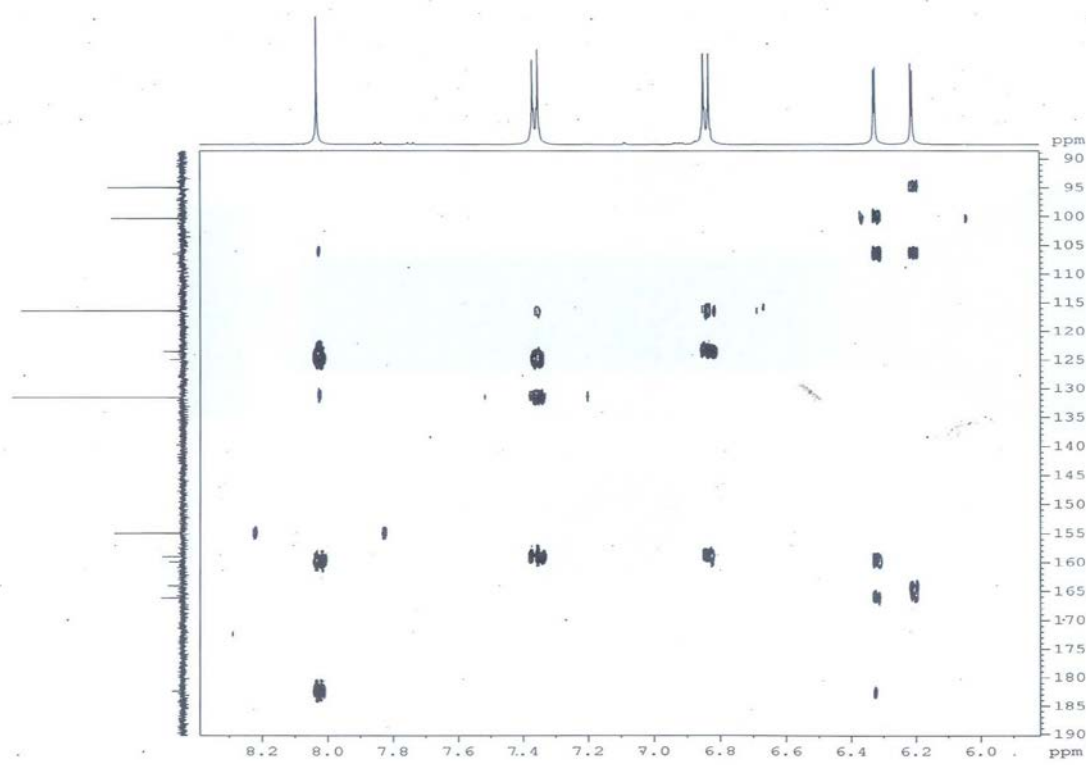


Figura 19S. Mapa de contornos HMBC (CD_3OD) de **8**